

ФЕДЕРАЛЬНОЕ ГОСУДАРСТВЕННОЕ БЮДЖЕТНОЕ
ОБРАЗОВАТЕЛЬНОЕ УЧРЕЖДЕНИЕ ВЫСШЕГО ОБРАЗОВАНИЯ
«МОСКОВСКИЙ ГОСУДАРСТВЕННЫЙ УНИВЕРСИТЕТ
имени М.В.ЛОМОНОСОВА»

ФИЗИЧЕСКИЙ ФАКУЛЬТЕТ

КАФЕДРА ФИЗИКИ ЧАСТИЦ И КОСМОЛОГИИ

БАКАЛАВРСКАЯ РАБОТА

«СОЛИТОНЫ В МОДЕЛЯХ НЕСКОЛЬКИХ ПОЛЕЙ»

Выполнил студент
443 группы
Маслов Василий Евгеньевич

(подпись студента)

Научный руководитель:
доктор физ.-мат. наук, профессор,
академик Рубаков В.А.

(подпись научного руководителя)

Допущен к защите 26.05.2017
Зав. кафедрой

(подпись зав.кафедрой)

Научный консультант:
кандидат физ.-мат.наук
Нугаев Э.Я.

Москва
2017

Оглавление

Введение	3
1 Постановка задачи	5
2 Статические решения в модели «синус-Гордон»	6
2.1 Случай осцилляций	6
2.2 Случай вращения	7
3 Учет внешнего воздействия	9
4 Статические решения	10
4.1 Вакуумное решение	10
4.1.1 Приближенное аналитическое решение	10
4.1.2 Численное решение	11
4.2 Одно- и многосолитонные решения	11
Заключение	16
A Модель нескольких взаимодействующих полей с потенциалом вида φ^4 и φ^n	17
Список литературы	20

Введение

В теории поля есть солитоны — классические решения полевых уравнений с локализованной плотностью энергии. В моделях физики высоких энергий солитоны описывают квазиклассические частицеподобные состояния с большой массой, имеющие релятивистский закон дисперсии [1], [2], [3].

В физике конденсированного состояния они соответствуют непертурбативным возмущениям изучаемой системы, структура которых может быть изучена экспериментально. При этом размерность изучаемой модели физики конденсированного состояния может быть равна 1, 2 или 3 — в зависимости от количества независимых направлений, по которым могут распространяться низкоэнергетические возмущения.

В данной работе мы изучаем статические солитоны в общей модели N скалярных полей φ_i с лагранжианом:

$$\mathcal{L} = \frac{1}{2} \partial_\mu \varphi_i \partial^\mu \varphi_i - V(\varphi_1, \dots, \varphi_N). \quad (1)$$

Ключевым замечанием данной работы является то, что статические уравнения для поля в этой модели

$$\frac{\partial^2 \varphi_i}{\partial x^2} = \frac{\partial V(\varphi_1, \dots, \varphi_N)}{\partial \varphi_i}, \quad i = 1 \dots N \quad (2)$$

совпадают с уравнениями движения N -мерной механической системы с потенциалом $V_{mech} = -V$:

$$\frac{d^2 z_i}{dt^2} = - \frac{\partial V_{mech}(z_1, \dots, z_N)}{\partial z_i}, \quad (3)$$

где координате x в механической аналогии соответствует время t , полям φ_i — координаты z_i .

Аналогия (2), (3) показывает существование принципиального различия между солитонными решениями в модели одного поля и в моделях нескольких полей. Действительно, движение одномерных механических систем всегда является интегрируемым благодаря закону сохранения энергии. Многомерные механические уравнения в общем случае интегрируемыми не являются, и в них возможен динамический хаос — качественное изменение движения системы при инфинитезимальном изменении начальных данных. Так как статические полевые решения подчиняются тем же уравнениям, то однополевые солитоны тоже являются интегрируемыми, в многополевых системах возможны решения, соответствующие динамическому хаосу в механической аналогии. Изучение таких решений и является главной задачей этой работы.

Существует два типа моделей с неинтегрируемыми статическими уравнениями:

1. Несколько взаимодействующих полей
2. Одно поле, находящееся во внешнем потенциале

Покажем, что модель с несколькими взаимодействующими полями в некотором случае аналогична модели с одним полем и с внешним воздействием. Для простоты рассмотрим модель двух

полей φ_1, φ_2 с классическим действием:

$$S = AS_1[\varphi_1] + S_2[\varphi_1, \varphi_2], \quad (4)$$

где $A \gg 1$ - константа теории. Варьируя по φ_1 и φ_2 , получим уравнения поля:

$$\frac{\delta S_1}{\delta \varphi_1} = A \frac{\delta S_1[\varphi_1]}{\delta \varphi_1} + \frac{\delta S_2[\varphi_1, \varphi_2]}{\delta \varphi_1} = 0, \quad (5)$$

$$\frac{\delta S_2}{\delta \varphi_2} = \frac{\delta S_2[\varphi_1, \varphi_2]}{\delta \varphi_2} = 0. \quad (6)$$

Разделив (5) на A , получим:

$$\frac{\delta S_1}{\delta \varphi_1} = \frac{\delta S_1[\varphi_1]}{\delta \varphi_1} + \frac{1}{A} \frac{\delta S_2[\varphi_1, \varphi_2]}{\delta \varphi_1} = 0. \quad (7)$$

Случай $A \gg 1$ соответствует $E_1 \gg E_2$, поскольку энергия поля φ_1 пропорциональна A , а энергия φ_2 - не зависит от A . Пренебрегая членом порядка $\frac{1}{A}$ в (7), получим систему уравнений:

$$\frac{\delta S_1[\varphi_1]}{\delta \varphi_1} = 0, \quad (8)$$

$$\frac{\delta S_2[\varphi_1, \varphi_2]}{\delta \varphi_2} = 0. \quad (9)$$

Мы видим, что при $A \gg 1$ поле φ_1 эволюционирует независимо от φ_2 , а поле φ_2 находится в заданном внешнем поле φ_1 . Мы получили модель поля φ_2 , находящегося под внешним воздействием, как предельный случай двух взаимодействующих полей.

Случай двух взаимодействующих полей с потенциалом вида φ^4 , а также более общего вида φ^n , $n \geq 3$, рассмотрен в Приложении А. Показано, что хотя статические многосолитонные решения существуют, они нестабильны. Поэтому в дальнейшем будем рассматривать случай одного поля под внешним воздействием, но в потенциале с большим числом вакуумов, между которыми могут наблюдаться солитоны.

Примером такого потенциала является потенциал «синус-Гордон»: [1], [2], [3]:

$$\mathcal{L}_0 = \frac{1}{2} \partial_\mu \varphi \partial^\mu \varphi + (\cos \varphi - 1). \quad (10)$$

Этот потенциал встречается и в физике конденсированного состояния вещества. Например, система двух взаимодействующих одномерных бозе-конденсатов с волновыми функциями φ_1 и φ_2 описывается [4] гамильтонианом

$$H = \sum_{j=1}^2 \int dx \left[\frac{1}{2m} \frac{\partial \psi_j^\dagger}{\partial x} \frac{\partial \psi_j}{\partial x} + \frac{g}{2} \psi_j^\dagger \psi_j^\dagger \psi_j \psi_j + (V(x) - \mu) \psi_j^\dagger \psi_j \right] - J \int dx \left[\psi_1^\dagger \psi_2 + \psi_2^\dagger \psi_1 \right], \quad (11)$$

где m - атомная масса, g - эффективная сила взаимодействия атомов в одном конденсате, $V(x)$ - потенциал захвата электронов, μ - химический потенциал, J - константа связи двух систем, $\hbar = 1$.

В пределе низких энергий модули волновых функций примерно одинаковы, и можно записать [5]: $\psi_m(z) = \exp[i\theta_m(z)] \sqrt{n_{1D}}$, $m = 1, 2$. Вводя симметричные и антисимметричные фазы $\varphi_a(z) = \theta_1(z) - \theta_2(z)$, $\varphi_s(z) = (\theta_1(z) + \theta_2(z))/2$, получим:

$$H = \int dz \left[\frac{n_{1D}}{4m} \left(\frac{\partial \varphi_a}{\partial z} \right)^2 - 2Jn_{1D} \cos \varphi_a + \frac{n_{1D}}{4m} \left(\frac{\partial \varphi_s}{\partial z} \right)^2 \right], \quad (12)$$

что соответствует гамильтониану модели (10) для поля φ_a . Таким образом, всё дальнейшее справедливо, в частности, и для системы двух взаимодействующих бозе-конденсатов, находящихся под внешним воздействием.

Глава 1

Постановка задачи

Далее мы будем рассматривать модель (10) в статическом внешнем потенциале, который для простоты запишем в виде ряда δ -функций:

$$S_2 = \int d^2x \mathcal{L} = \int d^2x \left(\frac{1}{2} \partial_\mu \varphi \partial^\mu \varphi + (\cos \varphi - 1) - \varepsilon \varphi \sum_{n=-\infty}^{\infty} (-1)^n \delta(x - nD) \right). \quad (1.1)$$

В данной модели найдём хаотические солитоноподобные решения и исследуем их.

Уравнение на статические решения этой модели имеет вид, аналогичный уравнению физического маятника, на который действует внешняя сила:

$$\varphi'' = \sin \varphi + \varepsilon \sum_{n=-\infty}^{\infty} (-1)^n \delta(x - nD), \quad (1.2)$$

где штрих означает производную по координате, а поле φ имеет смысл угла отклонения маятника от верхнего (нестабильного) положения. Полученное дифференциальное уравнение будем исследовать с помощью теории возмущений по параметру ε .

Глава 2

Статические решения в модели «синус-Гордон»

Рассмотрим модель (10). Статические уравнения поля в этом случае аналогичны уравнению классической механики: $\dot{y} = \sin y$, где $y \equiv \varphi$, $t \equiv x$. Гамильтониан соответствующей механической системы есть:

$$H = \frac{\dot{y}^2}{2} + \cos y. \quad (2.1)$$

Это — уравнение математического маятника, где y - угол, который отсчитывается от наивысшего положения маятника. Существенно отличаются два случая: случай осцилляций маятника (при $-1 \leq H < 1$) и случай вращения (при $H > 1$), см. Рис. 2.1. Мы получим решения уравнения движения отдельно в каждом из случаев.

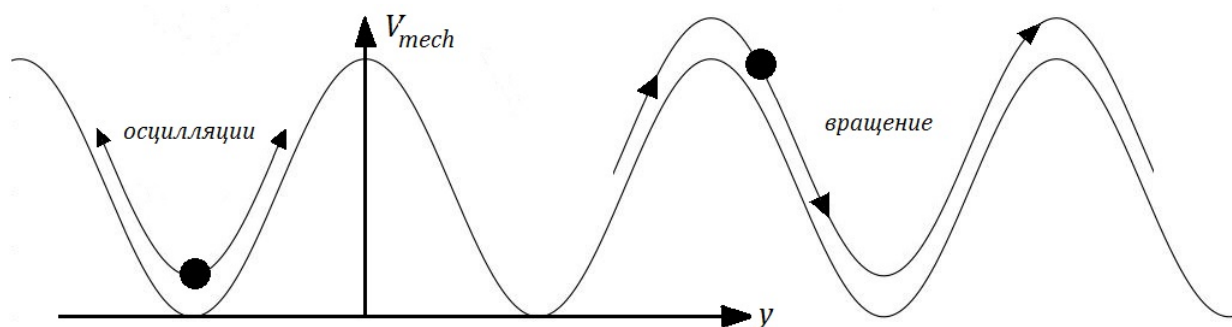


Рис. 2.1: Случаи движения маятника: осцилляции (слева) и вращение (справа)

2.1 Случай осцилляций

Пусть $H < 1$. Введем, следуя [6], удобные переменные:

$$\cos \frac{y}{2} = k \sin \psi, \quad k = \sqrt{\frac{H+1}{2}}. \quad (2.2)$$

Отметим, что в данном случае $k < 1$. Тогда, дифференцируя (2.2), получим:

$$\dot{\psi} = -\frac{1}{2} \frac{\dot{y} \sin \frac{y}{2}}{k \cos \psi}. \quad (2.3)$$

Отсюда, с учетом (2.1), получаем уравнение на $\dot{\psi}$:

$$\dot{\psi}^2 = \frac{1}{4}\dot{y}^2 \frac{\sin^2 \frac{y}{2}}{k^2 \cos^2 \psi} = \frac{1}{2}(H - \cos y) \frac{1 - k^2 \sin^2 \psi}{k^2 \cos^2 \psi} = 1 - k^2 \sin^2 \psi. \quad (2.4)$$

Интегрируя по t , получаем:

$$(t - t_\pi) = \pm \int_0^\psi \frac{d\tilde{\psi}}{\sqrt{1 - k^2 \sin^2 \tilde{\psi}}} = \pm F(\psi, k), \quad (2.5)$$

где $F(\psi, k)$ — неполный эллиптический интеграл 1-го рода, а t_π — момент времени, когда осциллятор имеет координату π (т.е. находится в нижнем положении). В этой точке $k \sin \psi = \cos \frac{\pi}{2} = 0$, и $\psi = 0$. Обращая уравнение (2.5), получим:

$$\psi = \pm \operatorname{am}(t - t_\pi, k), \quad (2.6)$$

где $\operatorname{am}(\psi, k)$ — эллиптическая амплитуда Якоби. Возвращаясь к переменной y , с учетом $\sin \operatorname{am}(\psi, k) = \operatorname{sn}(\psi, k)$, где sn — эллиптический синус, окончательно получим:

$$y(t) = 2 \operatorname{Arccos}(k \sin \psi) = 2 \operatorname{Arccos}(\pm k \operatorname{sn}(t - t_\pi, k)). \quad (2.7)$$

Чтобы получить решения для импульса $p = \dot{y}$, воспользуемся тем [7], что $(\operatorname{sn} u)' = \operatorname{cn} u \operatorname{dn} u$ и $\operatorname{dn}^2 u + k^2 \operatorname{sn}^2 u = 1$:

$$p \equiv \dot{y} = \mp \frac{2k \operatorname{cn}(t - t_\pi, k) \operatorname{dn}(t - t_\pi, k)}{\sqrt{1 - k^2 \operatorname{sn}^2(t - t_\pi, k)}} = \mp 2k \operatorname{cn}(t - t_\pi, k). \quad (2.8)$$

Возвращаясь к полевому языку, для $\varphi(x)$ и $\varphi'(x)$ можем записать в случае $k^2(x) \equiv \frac{1}{2} \left(1 + \frac{1}{2} \varphi'^2(x) + \cos \varphi(x) \right) < 1$:

$$\varphi(x) = 2 \operatorname{Arccos}(\pm k \operatorname{sn}(x - x_\pi, k)), \quad (2.9)$$

$$\varphi'(x) = \mp 2k \operatorname{cn}(x - x_\pi, k). \quad (2.10)$$

Здесь x_π есть значение координаты x , при которой $\varphi = \pi$.

2.2 Случай вращения

Рассмотрим случай $H > 1$, тогда маятник свободно вращается. В данном случае удобные переменные можно выбрать другим способом: переменную k введем так же, $k = \frac{H+1}{2}$, а вместо переменной ψ введем переменную $\gamma = \frac{\pi - y}{2}$, так что $\cos \frac{y}{2} = \sin \gamma$. Тогда

$$\dot{\gamma}^2 = \frac{1}{4}\dot{y}^2 = \frac{1}{2}(H - \cos y) = \frac{1}{2}(H + 1 - 2 \cos^2 \frac{y}{2}) = k^2 - \sin^2 \gamma. \quad (2.11)$$

Отсюда $\dot{\gamma} = \pm \sqrt{k^2 - \sin^2 \gamma}$, и $t - t_\pi = \pm \frac{1}{k} F\left(\gamma, \frac{1}{k}\right)$, поэтому $\gamma(t) = \operatorname{am}\left(\pm k(t - t_\pi), \frac{1}{k}\right)$, где при интегрировании учтено, что $\gamma(\pi) = 0$. Учитывая нечётность амплитуды Якоби am , а также связь γ и y , окончательно получим решение, описывающее вращение маятника:

$$y = \pi \pm 2 \operatorname{am}\left(k(t - t_\pi), \frac{1}{k}\right). \quad (2.12)$$

Получим выражение для $p = \dot{y}$, учитывая, что $(\operatorname{am} u)' = (\arcsin(\operatorname{sn} u))' = \frac{\operatorname{cn} u \operatorname{dn} u}{\sqrt{1 - \operatorname{sn}^2 u}} = \operatorname{dn} u$:

$$p = \dot{y} = \pm 2k \operatorname{dn} \left(k(t - t_\pi), \frac{1}{k} \right). \quad (2.13)$$

Возвращаясь опять к обозначениям теории поля, для $\varphi(x)$ и $\varphi'(x)$ при $k^2(x) \equiv \frac{1}{2} \left(1 + \frac{1}{2} \varphi'^2(x) + \cos \varphi(x) \right) > 1$, получим:

$$\varphi(x) = \pi \pm 2 \operatorname{am} \left(k(x - x_\pi), \frac{1}{k} \right), \quad (2.14)$$

$$\varphi'(x) = \pm 2k \operatorname{dn} \left(k(x - x_\pi), \frac{1}{k} \right). \quad (2.15)$$

Здесь, как и в случае, соответствующем механическим осцилляциям, x_π — пространственная координата, в которой $\varphi(x) = \pi$.

Глава 3

Учет внешнего воздействия

Теперь рассмотрим модель (1.1) при $\varepsilon \ll 1$. Механическая система, аналогичная статическим решениям в данной модели, будет испытывать δ -образные периодические во времени толчки разных знаков. Уравнение (1.2) на языке классической механики примет вид:

$$\ddot{y} = \sin y + \varepsilon \sum_{n=-\infty}^{\infty} (-1)^n \delta(t - nD), \quad (3.1)$$

где по-прежнему $y \equiv \varphi$, $t \equiv x$. Между толчками при $t = nD$ маятник $y(t)$ движется свободно.

Нам надо понять, как меняются характеристики системы в момент действия δ -функций в правой части. Обозначим $p = \dot{y}$, и запишем (3.1) в виде системы уравнений

$$\dot{y} = p, \quad (3.2)$$

$$\dot{p} = \sin y + \varepsilon \sum_{n=-\infty}^{\infty} (-1)^n \delta(t - nD). \quad (3.3)$$

Теперь рассмотрим δ -воздействие в момент времени n_0D . Проинтегрировав (3.2)-(3.3) по t в пределах от $n_0D - \varepsilon$ до $n_0D + \varepsilon$ и устремив $\varepsilon \rightarrow 0$, получим поведение y и $\dot{y} = p$ в момент действия δ -возмущения:

$$y(n_0D + 0) - y(n_0D - 0) = \lim_{\varepsilon \rightarrow 0} \int_{n_0D - \varepsilon}^{n_0D + \varepsilon} p(t) dt = 0, \quad (3.4)$$

$$\dot{y}(n_0D + 0) - \dot{y}(n_0D - 0) = \lim_{\varepsilon \rightarrow 0} \int_{n_0D - \varepsilon}^{n_0D + \varepsilon} (\sin y(t) + (-1)^{n_0} \varepsilon \delta(t - n_0D)) dt = (-1)^{n_0} \varepsilon. \quad (3.5)$$

Отсюда видим, что эволюцию системы можно определить, воспользовавшись следующим алгоритмом.

1. Пусть после очередного δ -взаимодействия у нас координата и импульс есть y_i, p_i . По ним мы можем найти H_i, k_i и определить режим эволюции системы - осцилляций ($k < 1$) или вращения ($k > 1$).
2. Эволюция системы вплоть до следующего взаимодействия задаётся формулами (2.7)-(2.8) или (2.12)-(2.13). Параметр t_π мы находим, решая уравнения $y(t_i) = y_i, p(t_i) = p_i$.
3. При следующем взаимодействии координата $y \equiv y_{i+1}$ остается неизменной, а импульс изменяется на ε : $p_{i+1} = \tilde{p}_{i+1} + \varepsilon (-1)^{i+1}$

Для полевой модели справедливо всё то же самое, с точностью до замены y на φ , а времени t на координату x .

Глава 4

Статические решения

4.1 Вакуумное решение

Вакууму должно соответствовать решение с наименьшей энергией. Так как исследуемое поле находится под влиянием внешнего возмущения, то пребывать в вакууме невозмущенной задачи $\varphi = 2\pi n$, $n \in \mathbb{Z}$, оно не может. С другой стороны, вакуумное решение должно быть инвариантным относительно трансляций $x \rightarrow x + 2D$ на период внешнего воздействия $2D$. Таким образом, это решение описывает малые осцилляции поля φ вокруг вакуумного значения невозмущенной модели $\varphi = 2\pi n$. Для определенности выберем $n = 0$.

Рассмотрим интервал на оси x от x_0 до $x_0 + 2D$. За это время система успевает провзаимодействовать с δ -возмущениями двух разных знаков (см. (3.1)). В результате $p = \varphi'$ дважды испытывает скачок (3.5). Если до первого скачка решение описывается функцией $\varphi_S(x)$, $\varphi'_S(x) \equiv p_S(x)$, то между первым и вторым скачками — $\varphi_C(x)$, $\varphi'_C(x) \equiv p_C(x)$, а после второго скачка — $\varphi_F(x)$ ($\varphi'_F(x) \equiv p_F(x)$). Для периодичности решения надо потребовать

$$\varphi_F(x_0 + 2D) = \varphi_S(x_0), \quad p_F(x_0 + 2D) = p_S(x_0). \quad (4.1)$$

Эти условия, а также выражения (2.14), (2.15), позволяют получить вакуумное решение.

4.1.1 Приближенное аналитическое решение

Приближенное решение можно найти аналитически. Для этого надо, воспользовавшись малостью осцилляций вокруг вакуума, в уравнении (1.2) положить $\sin \varphi \approx \varphi$. Тогда приближенное уравнение примет вид:

$$\varphi'' = \varphi + \varepsilon \sum_{n=-\infty}^{\infty} (-1)^n \delta(x - nD), \quad (4.2)$$

Общее решение невозмущенной задачи можно записать в виде

$$\varphi_{approx} = Ae^x + Be^{-x}, \quad (4.3)$$

$$p_{approx} = \varphi'_{approx} = Ae^x - Be^{-x}. \quad (4.4)$$

При взаимодействии с δ -образным возмущением в точке $x = nD$, в соответствии с (3.2) и (3.3), решение изменится согласно уравнениям:

$$Ae^{nD} + Be^{-nD} = A'e^{nD} + B'e^{-nD}, \quad (4.5)$$

$$Ae^{nD} - Be^{-nD} + (-1)^n \varepsilon = A'e^{nD} - B'e^{-nD}, \quad (4.6)$$

откуда получим коэффициенты решения после взаимодействия:

$$A' = A + \frac{\varepsilon}{2} (-1)^n e^{-nD}, \quad B' = B - \frac{\varepsilon}{2} (-1)^n e^{nD}. \quad (4.7)$$

Видно, что коэффициенты A и B меняются скачкообразно. Аналогично, после скачка в $(2n+1)D$ решение есть

$$\varphi(x) = \left(A + \frac{\varepsilon}{2} e^{-2nD} - \frac{\varepsilon}{2} e^{-(2n+1)D} \right) e^x + \left(B - \frac{\varepsilon}{2} e^{2nD} + \frac{\varepsilon}{2} e^{(2n+1)D} \right) e^{-x}.$$

Тогда условие равенства решений (и производных) до взаимодействий в точках $2nD$ и $(2n+2)D$ есть:

$$\left(A + \frac{\varepsilon}{2} e^{-2nD} - \frac{\varepsilon}{2} e^{-(2n+1)D} \right) e^{(2n+2)D} + \left(B - \frac{\varepsilon}{2} e^{2nD} + \frac{\varepsilon}{2} e^{(2n+1)D} \right) e^{-(2n+2)D} = Ae^{2nD} + Be^{-2nD}, \quad (4.8)$$

$$\left(A + \frac{\varepsilon}{2} e^{-2nD} - \frac{\varepsilon}{2} e^{-(2n+1)D} \right) e^{(2n+2)D} - \left(B - \frac{\varepsilon}{2} e^{2nD} + \frac{\varepsilon}{2} e^{(2n+1)D} \right) e^{-(2n+2)D} = Ae^{2nD} - Be^{-2nD}, \quad (4.9)$$

откуда

$$Ae^{(2n+2)D} + \frac{\varepsilon}{2} (e^{2D} - e^D) = Ae^{2nD}, \quad (4.10)$$

$$Be^{-(2n+2)D} - \frac{\varepsilon}{2} (e^{-2D} - e^{-D}) = Be^{-2nD}. \quad (4.11)$$

Тогда

$$A = -\frac{\varepsilon}{2} \frac{1}{1+e^{-D}} e^{-2nD}, \quad B = \frac{\varepsilon}{2} \frac{1}{1+e^D} e^{2nD}, \quad (4.12)$$

$$A' = \frac{\varepsilon}{2} \frac{1}{1+e^D} e^{-2nD}, \quad B' = -\frac{\varepsilon}{2} \frac{1}{1+e^{-D}} e^{2nD}. \quad (4.13)$$

Таким образом, вакуумное решение можно записать в виде

$$\varphi(x) = \frac{\varepsilon}{2} \frac{1}{1+e^D} e^{x-2nD} - \frac{\varepsilon}{2} \frac{1}{1+e^{-D}} e^{-(x-2nD)}, \quad 2nD < x < (2n+1)D, \quad (4.14)$$

$$\varphi(x) = -\frac{\varepsilon}{2} \frac{1}{1+e^{-D}} e^{x-2nD} + \frac{\varepsilon}{2} \frac{1}{1+e^D} e^{-(x-2nD)}, \quad (2n+1)D < x < (2n+2)D. \quad (4.15)$$

Это решение весьма точно аппроксимирует истинное вакуумное решение, которое будет найдено далее.

4.1.2 Численное решение

Численное решение полной задачи можно получить методом пристрелки. Так как вакуумное решение — периодическое, то величина $H = \frac{\varphi'^2}{2} + \cos \varphi$, соответствующая энергии в механической аналогии, не зависит от x . Поэтому мы ожидаем, что решение — антисимметричное: в точках $x = D(n + \frac{1}{2})$, $n \in \mathbb{Z}$, поле φ равно 0. Действительно, в этом случае величина H не может изменяться в момент взаимодействия, тогда φ'^2 не меняется в точках δ -толчка, так как $\varphi(x)$ — непрерывна. Поэтому в качестве параметра пристрелки возьмём $\varphi'(\frac{D}{2})$ и потребуем, чтобы $\varphi(\frac{3}{2}D) = 0$, т.е. найдем численно корень функции $\varphi_{x=\frac{3}{2}D}(\varphi'_{x=\frac{1}{2}D})$. Найденное таким образом вакуумное решение показано на Рис. 4.1.

4.2 Одно- и многосолитонные решения

Рассмотрим статические возмущения над вакуумом: $\varphi(x) = \varphi_{vac}(x) + \theta(x)$. Подставляя $\varphi(x)$ в (1.2), получим однородное (по правой части) уравнение на $\theta(x)$:

$$\theta'' = \sin \theta. \quad (4.16)$$

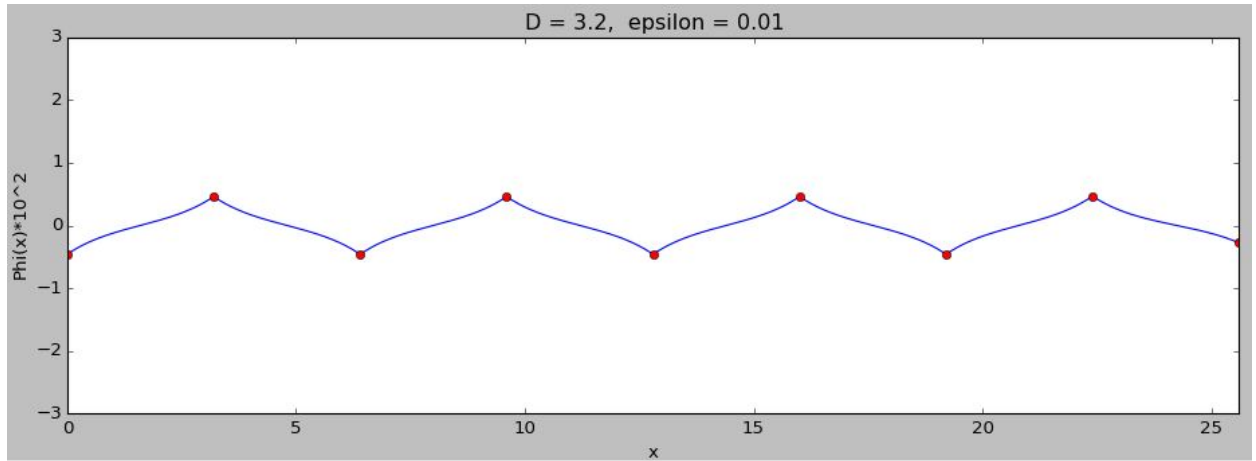


Рис. 4.1: Вакуумное решение при $D = 3.2$, $\varepsilon = 0.01$. Красными точками отмечены моменты внешних δ -возмущений.

Считая возмущение $\theta(x)$ малым, линеаризуя уравнение (4.16), можем записать общее статическое решение для малого возмущения в виде:

$$\theta(x) = A e^x + B e^{-x}. \quad (4.17)$$

Отметим, что в области $x \gg 1$, $x > 0$ второе слагаемое существенной роли не играет из-за падающей экспоненты, в то время как первое слагаемое существенно изменяет вакуумное решение.

Поиск многосолитонных решений будем производить с помощью анализа зависимости значения поля через большое число периодов $2D$ возмущения от параметра A , характеризующего отклонение от вакуумного решения.

Методом пристрелки ищем односолитонное решение, которое стартует из вакуума, испытывает одну осцилляцию маятника, и приходит в соседний вакуум. Это решение показано на Рис. 4.2.

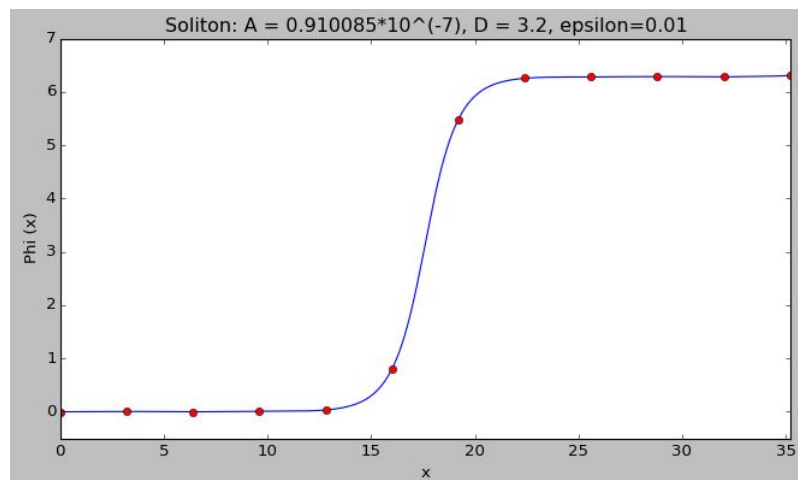


Рис. 4.2: Односолитонное решение, полученное при $A = 0.910085 \times 10^{-7}$, $D = 3.2$, $\varepsilon = 0.01$.

Аналогично ищем двухсолитонное решение вида «кинк-антикинк», показанное на Рис. 4.3.

Наконец, в общем случае мы имеем многосолитонные решения, содержащие динамический хаос. Примеры таких решений изображены на Рис. 4.4 и Рис. 4.5.

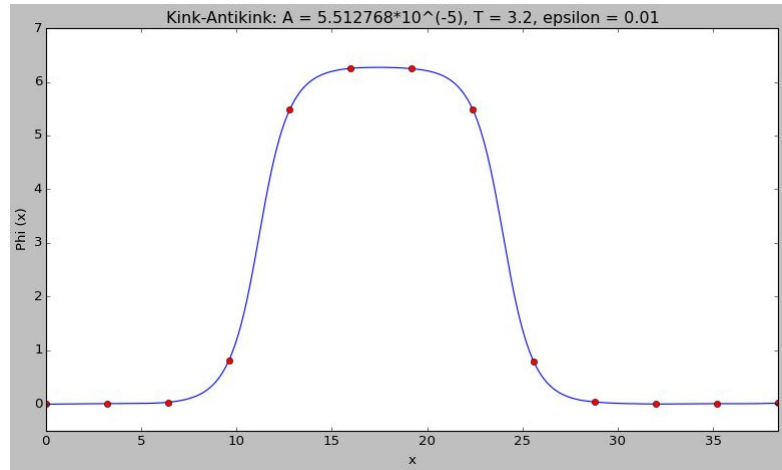


Рис. 4.3: Двухсолитонное решение (кинк-антикинк), полученное при $A = 5.512768 \times 10^{-5}$, $D = 3.2$, $\varepsilon = 0.01$. Красными точками отмечены моменты внешних δ -возмущений.

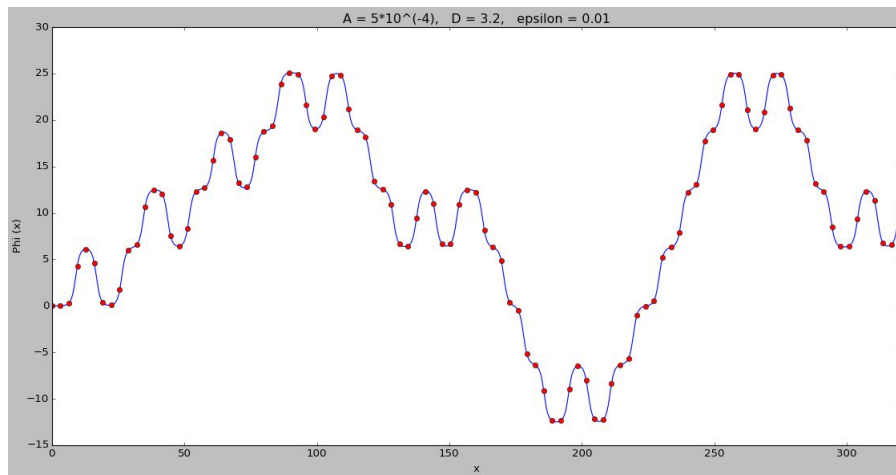


Рис. 4.4: Многосолитонное решение, полученное при $A = 5 \times 10^{-4}$, $D = 7.25$, $\varepsilon = 0.01$. Красными точками отмечены моменты внешних δ -возмущений.

Можно проклассифицировать полученные многосолитонные решения, рассмотрев зависимость значения поля через целое число периодов внешнего воздействия $X = 2DN$, $N \in \mathbb{Z}$, от параметра A величины возмущения над вакуумным решением. Эти графики для $X = 6D$, $X = 12D$ и $X = 20D$ представлены на Рис. 4.6, 4.7, 4.8.

При увеличении числа периодов мы получаем структуру, напоминающую фрактальную. Хаотичность системы проявляется в том, что состояние системы через большое число периодов внешнего воздействия кардинально меняется даже при самом незначительном изменении величины A возмущения над вакуумом. Это связано с тем, что любая неточность при попадании в вакуум порождает дополнительные ляпуновские экспоненты $Ae^x + Be^{-x}$, которые разрушают устойчивость по начальному значению.

Сопоставим каждому решению с конечной энергией целое число - порядковый номер. Будем говорить, что поле в данной точке обладает числом n , если оно находится между $2\pi n - \pi$ и $2\pi n + \pi$. Тогда каждое решение можно параметризовать набором чисел, каждое из которых соответствует одному периоду внешнего возмущения. Вакуумному решению тогда соответствует последовательность из нулей, односолитонному решению - последовательность $\dots 000111\dots$,

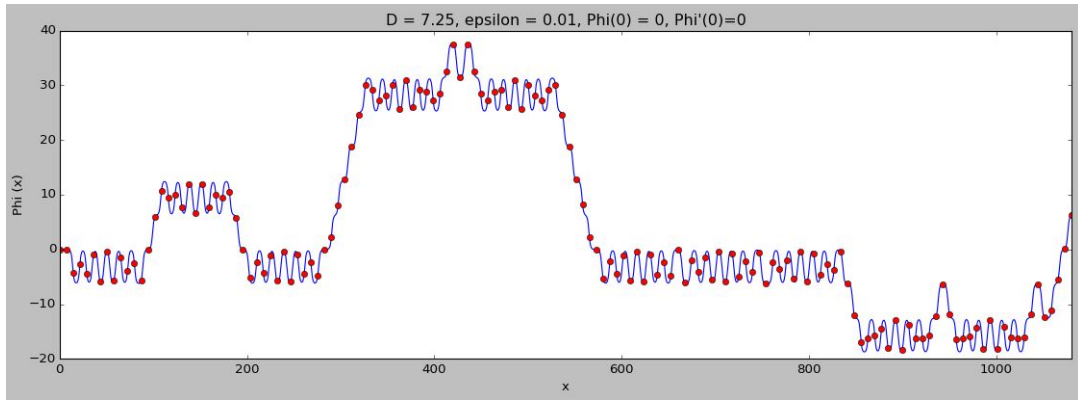


Рис. 4.5: Многосолитонное решение, полученное при $\varphi(0) = 0$, $\varphi'(0) = 0$, $D = 7.25$, $\varepsilon = 0.01$. Красными точками отмечены моменты внешних δ -возмущений.

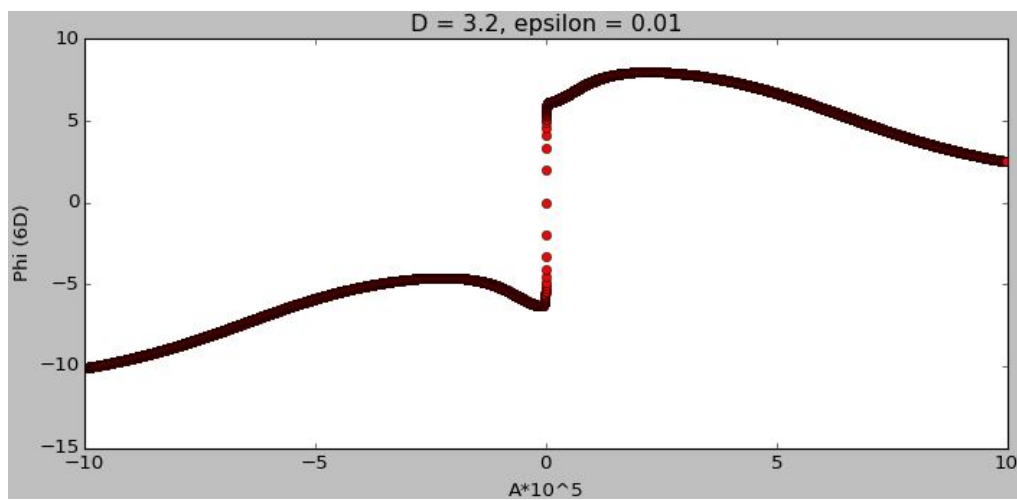


Рис. 4.6: Зависимость $\varphi(6D)$ от A

двухсолитонному (кинк-антикинк) - ...000111...111000....

Наконец, чтобы перестать учитывать ранее произошедший сдвиг по фазе, а учитывать только её изменения, можно запараметризовать решение скачками числа n за период внешнего воздействия. Тогда вакууму по-прежнему будет соответствовать последовательность из нулей, односолитонному решению — ...0, 0, 0, 1, 0, 0, 0..., двухсолитонному — ...0, 0, 1, 0, 0...0, 0, -1, 0, 0..., и т.д. При этом каждая область $\varphi(x) \approx 2\pi n$, $n \in \mathbb{Z}$ графиков на Рис. 4.6 — 4.8 соответствует статическому решению.

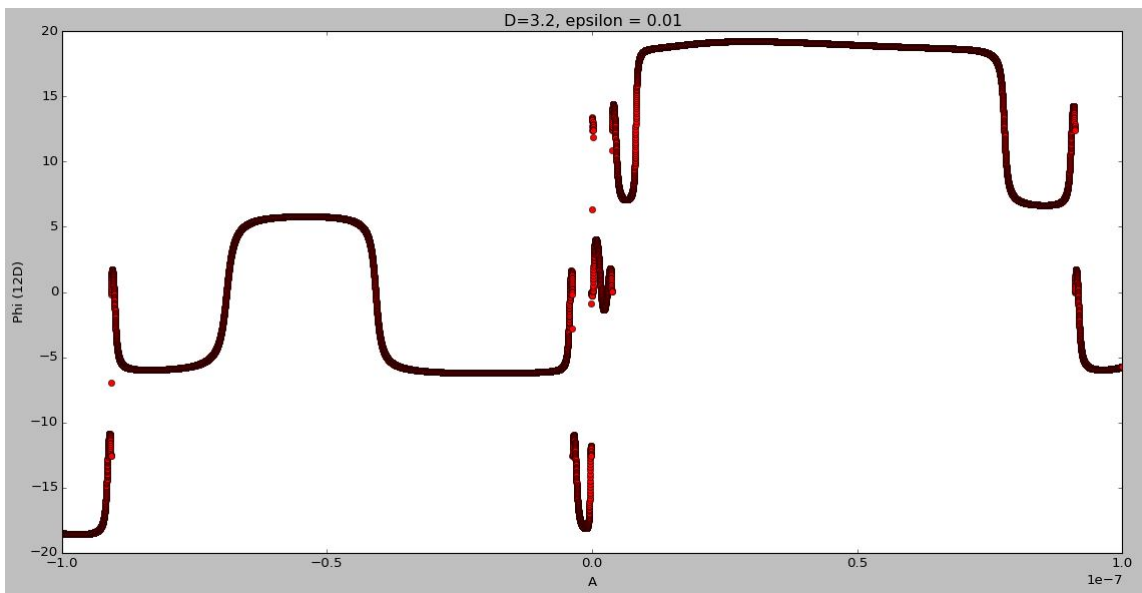


Рис. 4.7: Зависимость $\varphi(12D)$ от A

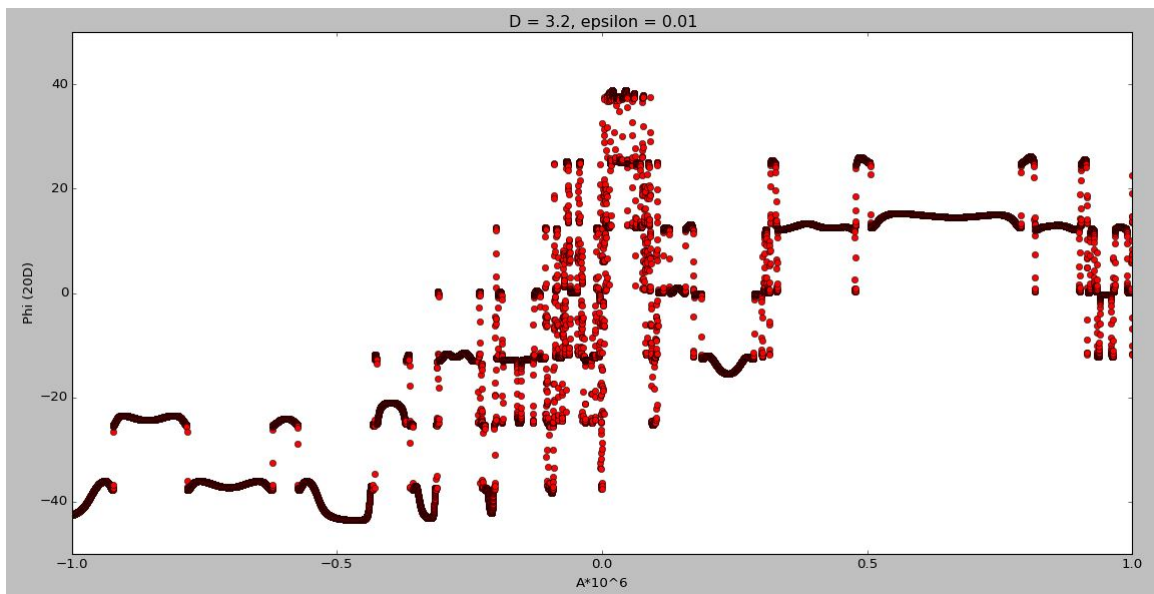


Рис. 4.8: Зависимость $\varphi(20D)$ от A

Заключение

В работе получены следующие результаты.

- Показано, что в однополевой модели «синус-Гордон» в периодическом δ -образном внешнем потенциале существует бесконечное количество многосолитонных решений.
- Показано, что солитонные решения в этой модели обладают хаотической зависимостью поля от пространственной координаты.
- Такое поведение поля обусловлено динамическим хаосом в механической аналогии.
- Благодаря этому свойству значение поля многосолитонного решения вдали от начала координат слабо зависит от его значения вблизи начала координат из-за растущих ляпуновских экспонент.
- Обсуждена возможность применения полученных результатов в физике конденсированного состояния, в частности, в модели двух взаимодействующих одномерных бозе-конденсатов (при наличии соответствующего возмущения).

Автор выражает огромную благодарность Эмину Нугаеву за многочисленные обсуждения и ценные указания и Дмитрию Левкову за рецензирование работы.

Приложение А

Модель нескольких взаимодействующих полей с потенциалом вида φ^4 и φ^n

Рассмотрим два скалярных поля с потенциалом вида φ^4 и введем между ними взаимодействие $\varepsilon V(\varphi_1, \varphi_2)$, $\varepsilon \ll 1$. Пусть эти поля имеют одинаковую массу, которую без ограничения общности мы положим равной 1. Лагранжиан такой модели имеет вид:

$$\mathcal{L} = \frac{1}{2} \partial_\mu \varphi_1 \partial^\mu \varphi_1 - \frac{1}{2} (\varphi_1^2 - 1)^2 + \frac{1}{2} \partial_\mu \varphi_2 \partial^\mu \varphi_2 - \frac{1}{2} (\varphi_2^2 - 1)^2 - \varepsilon V(\varphi_1, \varphi_2). \quad (\text{A.1})$$

При $\varepsilon \ll 1$ вакуумы, являющиеся минимумами суммарного потенциала, сместятся относительно вакуумов невозмущённой задачи на величину порядка ε . Поэтому статические решения в такой модели являются «последовательностями» статических решений в невозмущенной модели, стабилизированные с помощью нашего возмущения. Простейшие топологические солитоны в однополевой теории φ^4 после обезразмеривания:

$$\varphi = \pm \text{th}(x - x_0), \quad (\text{A.2})$$

где $\varphi = \varphi_1$ или φ_2 , знак «+» соответствует кинку, «-» — антикинку, x_0 — положение центра кинка или антикинка.

Рассмотрим систему кинк-антикинок поля φ_1 . Если бы не было поля φ_2 , то они бы притягивались с силой, равной $F = 32e^{-2R}$, где R — расстояние между кинком и антикинком [3]. При больших R эта конфигурация близка к статической. Однако если между ними вдобавок есть кинк второго поля, и он отталкивается и от кинка, и от антикинка, то мы можем получить само статическое решение. Мы можем продлить эту цепочку дальше, поместив справа антикинок поля φ_2 .

Таким образом, рассмотрим систему из двух кинков и двух антикинков разных полей (см. рис. А.1), находящихся на большом расстоянии друг от друга. Пусть координаты центров кинков полей φ_1 и φ_2 — c_1 и c_2 соответственно, антикинков — c_3 и c_4 , а потенциал взаимодействия имеет полиномиальный вид. Введем параметры $r_1 = c_2 - c_1$, $r_2 = c_3 - c_2$ и $r_3 = c_4 - c_3$, характеризующие расстояние между соседними солитонами. Так как кинки находятся на большом расстоянии друг от друга, то будем учитывать только взаимодействие между соседними солитонами как одного, так и разных полей. Энергия такого взаимодействия $W(|c_i - c_j|)$ зависит только от разности координат между кинками (антикинками), а потому взаимодействие каждой пары солитонов может быть охарактеризовано силой, с которой они друг на друга действуют:

$$F(|c_i - c_j|) = -\frac{\partial W}{\partial |c_i - c_j|}. \quad (\text{A.3})$$

Применим этот подход для поиска статической конфигурации в указанной модели, а также в более общей модели взаимодействующих полей с потенциалом вида φ^n , $n \geq 3$. Поскольку вдали

от центра статическое решение имеет экспоненциальную асимптотику, то энергия взаимодействия между солитонами как одного, так и разных полей будет пропорциональна $e^{-\alpha R}$, где R - расстояние между солитонами, а α - коэффициент, зависящий от их типа.

Поэтому можем положить силу, действующую между кинком и антикинком одного поля, равной $K_1 e^{-\alpha R}$, силы взаимодействия между кинками (антикинками) разных полей — $K_2 \varepsilon e^{-\beta R}$, а силу взаимодействия между кинком одного поля и антикинком другого поля — $K_3 \varepsilon e^{-\beta R}$. Здесь R - расстояние между (анти)кинками, на которые действует сила, $K_i > 0$, $i = 1, 2, 3$. Тогда в системе двух кинков и двух антикинков будут действовать силы изображенные на Рис. А.1.

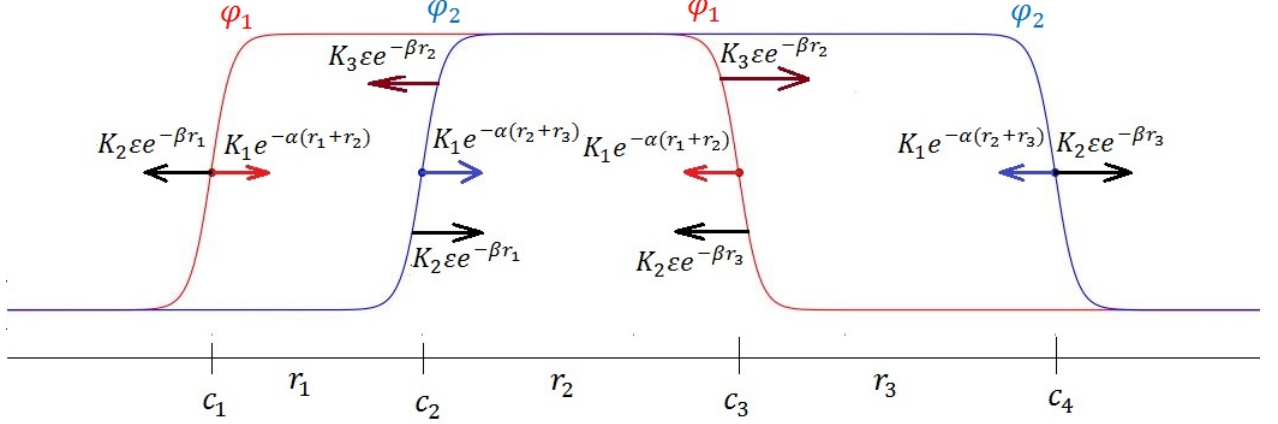


Рис. А.1: Система из двух кинков и двух антикинков в модели двух полей и силы, действующие на них. Красный график соответствует конфигурации поля φ_1 , синий — φ_2

Для нахождения статического решения мы должны потребовать, чтобы суммарная сила, действующая на каждый солитон, была равна нулю. Получим систему уравнений:

$$\begin{cases} K_1 e^{-\alpha(r_1+r_2)} = \varepsilon K_2 e^{-\beta r_1}, \\ \varepsilon K_3 e^{-\beta r_2} = K_1 e^{-\alpha(r_2+r_3)} + \varepsilon K_2 e^{-\beta r_1}, \\ \varepsilon K_3 e^{-\beta r_2} = K_1 e^{-\alpha(r_1+r_2)} + \varepsilon K_2 e^{-\beta r_3}, \\ K_1 e^{-\alpha(r_2+r_3)} = \varepsilon K_2 e^{-\beta r_3}. \end{cases} \quad (\text{A.4})$$

Легко видеть, что эта система симметрична относительно замены r_1 на r_3 . Поэтому статическое решение будет симметричным, и в нём $r_1 = r_3$. С учётом этого система уравнений (А.4) принимает вид:

$$\begin{cases} K_1 e^{-\alpha(r_1+r_2)} = \varepsilon K_2 e^{-\beta r_1}, \\ \varepsilon K_3 e^{-\beta r_2} = K_1 e^{-\alpha(r_1+r_2)} + \varepsilon K_2 e^{-\beta r_1} = 2\varepsilon K_2 e^{-\beta r_1}, \end{cases} \quad (\text{A.5})$$

где последнее равенство в нижнем уравнении получено с помощью верхнего уравнения. Прологарифмировав уравнения, получим:

$$\begin{cases} (\beta - \alpha)r_1 - \alpha r_2 = \ln \varepsilon + \ln K_2 - \ln K_1, \\ \beta(r_1 - r_2) = \ln 2 + \ln K_2 - \ln K_3. \end{cases} \quad (\text{A.6})$$

Отсюда следует, что в главном порядке по $|\ln \varepsilon| \gg 1$:

$$r_1 = r_3 \cong r_2 = -\frac{\ln \varepsilon}{2\alpha - \beta} + O(1). \quad (\text{A.7})$$

Так как $\varepsilon \ll 1$, то $\ln \varepsilon < 0$. Поэтому необходимое условие существования статического решения — это

$$2\alpha > \beta. \quad (\text{A.8})$$

Далее будем использовать это условие, а также уравнения (A.5), которым удовлетворяет статическое решение.

Изучим стабильность полученного решения. Для этого надо найти область, в которой найденный экстремум потенциала является его минимумом. Этому соответствует положительная определённость матрицы вторых производных потенциальной энергии U .

U распадается на слагаемые: $U = U_1(r_1 + r_2) + U_2(r_2 + r_3) + V_1(r_1) + V_2(r_2) + V_3(r_3)$, где U_i - члены, отвечающие за взаимодействие солитонов одного и того же поля, V_i - члены, отвечающие за взаимодействие солитонов разных полей, расположенных на расстоянии r_1, r_2, r_3 соответственно. Зануляя первые производные, мы получим те же уравнения, что и раньше:

$$\frac{\partial U}{\partial r_1} = \frac{\partial U_1(r_1 + r_2)}{\partial r_1} + \frac{\partial V_1(r_1)}{\partial r_1} = K_1 e^{-\alpha(r_1+r_2)} - \varepsilon K_2 e^{-\beta r_1} = 0, \quad (\text{A.9})$$

$$\frac{\partial U}{\partial r_2} = \frac{\partial U_1(r_1 + r_2)}{\partial r_2} + \frac{\partial U_2(r_2 + r_3)}{\partial r_2} + \frac{\partial V_2(r_2)}{\partial r_2} = K_1 e^{-\alpha(r_1+r_2)} + K_1 e^{-\alpha(r_2+r_3)} - \varepsilon K_3 e^{-\beta r_2} = 0, \quad (\text{A.10})$$

$$\frac{\partial U}{\partial r_3} = \frac{\partial U_2(r_2 + r_3)}{\partial r_3} + \frac{\partial V_3(r_3)}{\partial r_3} = K_1 e^{-\alpha(r_2+r_3)} - \varepsilon K_2 e^{-\beta r_3} = 0. \quad (\text{A.11})$$

Тогда вторые производные равны:

$$\begin{aligned} \frac{\partial^2 U}{\partial r_1^2} &= -\alpha K_1 e^{-\alpha(r_1+r_2)} + \varepsilon \beta C_2 e^{-\beta r_1}, & \frac{\partial^2 U}{\partial r_3^2} &= -\alpha K_1 e^{-\alpha(r_2+r_3)} + \varepsilon \beta C_2 e^{-\beta r_3}, \\ \frac{\partial^2 U}{\partial r_2^2} &= -\alpha K_1 e^{-\alpha(r_1+r_2)} - \alpha K_1 e^{-\alpha(r_2+r_3)} + \varepsilon \beta K_3 e^{-\beta r_2}, & & \\ \frac{\partial^2 U}{\partial r_1 \partial r_2} &= -\alpha K_1 e^{-\alpha(r_1+r_2)}, & \frac{\partial^2 U}{\partial r_2 \partial r_3} &= -\alpha K_1 e^{-\alpha(r_2+r_3)}, & \frac{\partial^2 U}{\partial r_1 \partial r_3} &= 0. \end{aligned} \quad (\text{A.12})$$

Воспользовавшись уравнениями (A.5) и учитывая, что $r_1 = r_3$, мы можем выразить все производные через C_1 , избавившись от ε , C_2 и C_3 . Получим:

$$\frac{\partial^2 U}{\partial r_1^2} = \frac{\partial^2 U}{\partial r_3^2} = (\beta - \alpha) K_1 e^{-\alpha(r_1+r_2)}, \quad \frac{\partial^2 U}{\partial r_2^2} = 2(\beta - \alpha) K_1 e^{-\alpha(r_1+r_2)}. \quad (\text{A.13})$$

Тогда матрица вторых производных примет вид:

$$\mathcal{G} = K_1 e^{-\alpha(r_1+r_2)} \begin{pmatrix} \beta - \alpha & -\alpha & 0 \\ -\alpha & 2(\beta - \alpha) & -\alpha \\ 0 & -\alpha & \beta - \alpha \end{pmatrix}. \quad (\text{A.14})$$

Множитель перед матрицей всегда положителен, поэтому стабильность решения определяется положительностью всех собственных значений оставшейся матрицы. Получим уравнение:

$$(\beta - \alpha - \lambda)^2 (2(\beta - \alpha) - \lambda) - 2\alpha^2 (\beta - \alpha - \lambda) = 0. \quad (\text{A.15})$$

Один из корней — это $\lambda_1 = \beta - \alpha$, и он положителен при $\beta > \alpha$, а на оставшиеся два корня получаем уравнение:

$$\lambda^2 - 3(\beta - \alpha)\lambda + 2\beta(\beta - 2\alpha) = 0. \quad (\text{A.16})$$

Для положительности обоих оставшихся корней надо, чтобы $-3(\beta - \alpha) < 0$, а $\beta(\beta - 2\alpha) > 0$. Но $\beta > 0$ по определению, а условие существования статических решений заключается в том, что $2\alpha > \beta$, поэтому второе условие никогда не будет для них достигнуто. Таким образом, найденные статические решения являются нестабильными.

Список литературы

- [1] В.А.Рубаков «Классические калибровочные поля. Бозонные теории». URSS, 2014
- [2] Р.Раджараман «Солитоны и инстантоны в квантовой теории поля». Москва, «МИР», 1985.
- [3] N.Manton, P.Sutcliffe «Topological solitons». Cambridge University Press, 2004.
- [4] N.K.Whitlock, I.Bouchoule «Relative phase fluctuations of two coupled one-dimensional condensates». Physical Review A 68, 053609 (2003)
- [5] V.Gritzev, A.Polkovnikov, E.Demler «Linear response theory for a pair of coupled one-dimensional condensates of interacting atoms». Physical Review B 75, 174511 (2007)
- [6] Г.М.Заславский, Р.З.Сагдеев «Введение в нелинейную физику: от маятника до турбулентности и хаоса». Москва, Наука, 1988
- [7] И.С.Градштейн, И.М.Рыжик «Таблицы интегралов, сумм, рядов и произведений». Москва, Физматгиз, 1963.